

УДК 541.183

**ДИНАМИКА СОРБЦИИ С НЕЛИНЕЙНОЙ КИНЕТИКОЙ
ВНУТРИДИФФУЗИОННОГО ТИПА
В ПРИСУТСТВИИ ПРОДОЛЬНЫХ ЭФФЕКТОВ**

А. С. КАМЕНЕВ

(Кафедра прикладной атомной физики и радиохимии)

Рассматривая проблему нелинейности межфазного массообмена при неравновесной динамической сорбции в присутствии продольных эффектов, прежде всего остановимся на внутридиффузационной задаче, точное аналитическое решение которой найдем для прямоугольной изотермы, и на основании этого построим приближенное аппроксимирующее решение на примере изотермы ленгмюровского типа произвольной крутизны.

При моделировании кинетических процессов адсорбции, ионного обмена и т. п. традиционно [3, 4] в зависимости от лимитирующего механизма используются уравнения внешнедиффузационного типа (n , N -линейные концентрации соответственно в подвижной и неподвижной фазах)

$$\frac{\partial N}{\partial t} = \beta_1 [n - F_p(N)] \xrightarrow[t \rightarrow \infty]{} \frac{d\vartheta}{dz} = \frac{\beta_1 h}{v} [F_p(\vartheta) - \varphi], \quad (1)$$

где β_1 — кинетическая константа массообмена для пленочной диффузии; $F_p(\vartheta)$ — изотерма, и уравнение внутридиффузационного типа

$$\frac{\partial N}{\partial t} = \beta_2 [f(n) - N] \xrightarrow[t \rightarrow \infty]{} \frac{d\vartheta}{dz} = \frac{\beta_2}{v} [\vartheta - f(\varphi)], \quad (2)$$

где β_2 — константа массообмена для гелевой диффузии; $f(\varphi)$ — уравнение изотермы. На асимптотической стадии фронтальной хроматографии при выпуклой изотерме эти уравнения, как показано в (1) и (2), переходят в выражения, записанные через обычную производную, которые уже представлены в безразмерных концентрациях $\varphi = n/n_0$, $\vartheta = N/N_0$ с использованием подвижной координаты $z = x - vt$, $v = uh(1 + h)^{-1}$, где u — средняя скорость жидкой фазы; $h = n_0/N_0$ — распределительное (ионное) отношение. В этих же координатах уравнение динамики имеет вид [2]

$$\varphi - \vartheta = \frac{D^*h}{v} \frac{d\varphi}{dz}, \quad (3)$$

где D^* — константа продольной квазидиффузии. Если внешнедиффузионный параметр β_1 при постоянном режиме течения раствора обычно считается постоянной величиной, то внутридиффузионный параметр β_2 в общем случае динамики сорбции зависит от концентрации вещества в твердой фазе, т. е. от степени отработки сорбционного слоя (заполнения), и допущение $\beta_2 = \text{const}$ годится лишь для первого приближения. Таким образом, будем считать, что в соотношении (2) $\beta_2 = \beta_2(\vartheta) = \beta_{0,2}W_2(\vartheta)$, где $W_2(\vartheta)$ — функция заполнения, зависящая от концентрации и степени сродства данного вещества к сорбенту или обменнику. Математи-

чески это соответствует большему или меньшему параметру крутизны изотермы $q = df/d\varphi|_{\varphi=0}$, $\beta_{0,2}$ — значение диффузионной константы при $q=1$ (линейная изотерма). Заметим, что в [5] для внутридиффузионной задачи было использовано модельное уравнение внешнедиффузионного типа (1) с нелинейной функцией $w(\vartheta)$.

При рассмотрении в качестве переменной величины концентрации в жидкой фазе φ параметр β_2 можно представить как $\beta_2=\beta_{0,2}w(\varphi)$, где $w(\varphi)$ — функция заполнения твердой фазы, выраженная через φ , поскольку в общем случае выпуклых изотерм и при наличии продольных эффектов (D^*) имеем $\vartheta=F(\varphi, q, \beta_{0,2}, D^*)$.

Исключая координату z из (2) и (3), получим уравнение с неразделяющимися переменными

$$\frac{dF}{d\varphi} = G_{0,2}w_2(\varphi) \frac{F - f(\varphi)}{\varphi - F}; \quad G_{0,2} = \frac{D^*h\beta_{0,2}}{v^2}, \quad (4)$$

решение которого дает межфазное соотношение концентраций в зоне стационарного фронта $\vartheta = F(q, G_{0,2}, \varphi)$, где $G_{0,2}$ — безразмерный динамический параметр $[0 \div \infty]$; $f(\varphi)$ — изотерма сорбции. Ищем неизвестную величину ϑ в виде комбинации изотермы $f(\varphi)$, функции заполнения w_2 и параметра $G_{0,2}$

$$\vartheta = F(\varphi) = \frac{\varphi w_2(\varphi) + G_{0,2}f(\varphi)}{w_2(\varphi) + G_{0,2}}, \quad (5)$$

подставив которую в уравнение (4), будем иметь

$$w_2^2 = \frac{(G_{0,2} + w_2)(G_{0,2}f' + w_2) - G_{0,2}w_2(f - \varphi)}{(w_2 + G_{0,2})}, \quad (6)$$

где $f' = df/d\varphi$, $w_2' = dw_2/d\varphi$.

Оказывается, что задавая значение ϑ в виде (5), можно найти точное аналитическое решение уравнения (4) для любых $G_{0,2}$ и предельно выпуклой (прямоугольной) изотермы, когда $f(\varphi) \approx 1$ при всех значениях φ , кроме некоторых, близких к нулю. Тогда из соотношения (6)

$$G_{0,2}w_2'(1 - \varphi) = w_2(w_2 + G_{0,2})(1 - G_{0,2}w_2 - w_2^2), \quad (7)$$

откуда после разделения переменных получаем выражение, удобное для интегрирования

$$\frac{d\varphi}{\varphi - 1} = G_{0,2} \frac{dw_2}{w_2(w_2 + G_{0,2})(w_2 - a)(w_2 - b)}, \quad (8)$$

в котором a и b — корни уравнения $w_2^2 + G_{0,2}w_2 - 1 = 0$. После интегрирования искомое соотношение находим в виде $\varphi(w_2)$

$$\varphi = 1 - K\psi(w_2, G_{0,2}) = 1 - K \frac{w_2 + G_{0,2}}{w_2} \left(\frac{w_2 - a}{w_2 - b} \right)^m, \quad (9)$$

где $m = G_{0,2}(4 + G_{0,2})^{-1/2}$; K — постоянная интегрирования, определяемая из условия $K = \psi^{-1}(G_{0,2}, w_2)|_{\varphi=0}$. Значение $\varphi=1$ соответствует подстановке в (9) корня $w_{1,2}=a$. Следует отметить, что в случае предельно выпуклой изотермы нельзя точно указать значение $w_{0,2}=w_2(0)$, поскольку числа, близкие к нулю, из области существования переменной φ при выводе формулы (9) исключаются. Однако можно показать, что константа K очень близка к единице.

Из соотношения (9) невозможно получить аналитическую зависимость в виде $w_2(\varphi, G_{0,2})$ при любых $G_{0,2}$, но нетрудно вывести уравнение стационарного фронта $z(w_2, G_{0,2})$, используя формулы (5), (9) и уравнение динамики (3). Ряд алгебраических преобразований и последующее интегрирование приводят к такому результату:

$$z(w_2) = \frac{D^*(1+h)}{u} \ln \frac{(w_2 + a)w_2^{k\sqrt{4+G_{0,2}}}}{(w_2 - b)^a} + \text{Const}, \quad (10)$$

откуда, используя связь (5), переходим к профилям в виде $z(\phi)$ или $z(\theta)$. Константу интегрирования в (10) нетрудно определить графическим способом.

Для получения аналитического решения данной задачи при выпуклых изотермах произвольной крутизны ($1 < q < \infty$) применим развивающийся нами метод аппроксимирующих функций. Из уравнений (4), (5) и (6) находим соотношение

$$\frac{d\theta}{d\phi} = [w_2(\phi)]^2 \text{ или } \theta = \int w_2^2(\phi) d\phi + \text{Const}, \quad (11)$$

где $w_2(\phi)$ — еще не конкретизированная функция заполнения для произвольных выпуклых изотерм, которая при малых значениях ϕ существенно отличается от (9). Ориентировочный вид соотношения $w_2(\phi)$ легко найти из формулы (9) при $G_{0,2} \gg 1$, когда $m \sim 1$. В этом случае и при некоторых других $G_{0,2}$, когда $m = 1/2, 1/3$ и т. п., $w_2(\phi)$ представляет собой комбинацию радикалов и квадратных трехчленов. Из (4) при этих же условиях следует $w_2(\phi) \rightarrow (f')^{1/2}$, что на основании интеграла (11) дает $\theta \rightarrow f(\phi)$ в соответствии с общей теорией динамики сорбции [2]. Исходя из этого предположим, что динамическое соотношение концентраций $\theta = F(q, \phi, G_{0,2})$ в зоне стационарного фронта («динамическая изотерма») получится путем некоторой модификации уравнения статики $f(\phi)$ и перейдет в последнее при $G_{0,2} \rightarrow \infty$ [1]. Тогда на основании (11) квадрат функции заполнения $w_2^2(\phi)$ является полным дифференциалом выражения $F(q, \phi, G_{0,2})$.

Рассмотрим в качестве примера изотерму ленгмюровского типа более общего вида (кривая второго порядка)

$$\theta = f(\phi) = \frac{\phi(q + p\phi)}{1 + r\phi}; \quad q + p = 1 + r, \quad (12)$$

которая переходит в традиционную форму при $p=0$. Поскольку при $p \neq 0$ симметрия относительно оси $1-\phi$ отсутствует, это выражение также может в ряде случаев подойти для аппроксимации экспериментальных данных по статике обмена разновалентных ионов. Представим искомую функцию $w_2(\phi)$ в виде многочлена

$$w_2(\phi) = [(A + 2B\phi + BC\phi^2)(1 + C\phi)^{-2}]^{1/2}, \quad (13)$$

который после подстановки в (11) и интегрирования дает соотношение концентраций

$$\theta = \phi(A + B\phi)(1 + C\phi)^{-1} + \text{Const} \quad (14)$$

и у которого постоянная интегрирования при $\phi = \theta = 0$ оказывается равной нулю, а значит при $\phi = \theta = 1$ имеем $A + B = 1 + C$. Неизвестные параметры выражений (13) и (14) определяются из граничных соотношений при подстановке их в исходные уравнения. Отсюда следует

$$A = w_{0,2}^2; \quad C_1 = [A - 1 - (1 - w_{1,2}^2)](1 - w_{1,2}^2)^{-1}, \quad (15)$$

где $w_{0,2} = w_2(\phi = 0)$ и $w_{1,2} = w_2(\phi = 1)$ действительные корни уравнения $w_2^3 + G_{0,2}w_2^2 - w_2 - G_{0,2}f_{0,1} = 0$, получающегося из (6) соответственно при $\phi = 0$ и $\phi = 1$. Кроме этого, для улучшения аппроксимации найдем $C_{2,3}$, при котором $F_\phi = 1$. Это соответствует значению $\phi^* = (\sqrt{1 + C_{2,3}} - 1)C_{2,3}^{-1}$, а также значению $w_2(\phi^*) = 1$.

После необходимых преобразований определяем

$$C_{2,3} = \frac{H_1 \pm [H_1^2 - 4G_{0,2}^2(1-q)^2 H_2^2]}{2G_{0,2}^2(1-q)^2}, \quad (16)$$

$$\text{где } H_1 = (A-1)^2(1+G_{0,2}^2) - G_{0,2}(1-q)[2r(A-1)(1+G_{0,2}) + G_{0,2}(1-q)],$$

$$H_2 = 2r(A-1)(1+G_{0,2})[G_{0,2}(1-q) + (A+1)(1+G_{0,2})(1+0,5r)]. \quad (17)$$

В качестве окончательного значения этого параметра для формул (13) и (14) возьмем среднее $\bar{C} = 0,5(C_1 + C_{2,3})$ и вычислим

$B = 1 + \bar{C} - A$. Проверка аппроксимации производилась путем подстановки в исходные соотношения конкретных значений параметров $G_{0,2}$ и q, p, r для изотерм, далеких от линейной, с одной стороны, но и не обладающих свойствами прямоугольной, с другой. Числовой анализ показал удовлетворительное совпадение аналитических приближений (5) и (14) между собой и их соответствие точному решению уравнения (4) практически во всей области существования параметра φ ($0,05 \div 0,95$) для любых реальных значений $G_{0,2}$. При этом аналитическое решение в форме (14) намного удобнее для дальнейших выкладок по интегрированию уравнения динамики (3), из которого находим уравнение стационарного фронта в общем виде

$$z(\varphi) = \frac{D^* h}{v(1-A)} \int \frac{1+C\varphi}{\varphi(1-\varphi)} d\varphi + \text{Const.} \quad (18)$$

Оно легко интегрируется и дает уравнение выходной кривой

$$z(\varphi) = \frac{D^* h}{v(A-1)} \ln \frac{(1-\varphi)^{1+C}}{\varphi} + \text{Const.} \quad (19)$$

Профиль колоночного распределения вещества $z(\vartheta)$ легко получить графически по соотношениям (5) или (14) и также графическим путем определить константу интегрирования в (19). Можно выразить $\varphi(\vartheta)$ из уравнения (14)

$$\varphi = 0,5B^{-1} \{(C\vartheta - A) + \sqrt{(C\vartheta - A)^2 + 4\vartheta B}\}, \quad (20)$$

после чего применить формулу [2]

$$\text{Const} = -\frac{1}{1+h} \left[h \int_0^1 z_0(\varphi) d\varphi + \int_0^1 z_0(\vartheta) d\vartheta \right], \quad (21)$$

что, однако, связано с весьма громоздкими выкладками.

В ряде случаев, когда асимметрия изотермы (12) велика, или при очень выпуклых, но еще не прямоугольных изотермах ($q \sim 50 \div 100$) можно значительно улучшить аппроксимацию формулой (14) путем введения переменного параметра $C(\varphi) = C_0(k - \varphi)k^{-1}$, где $k = C_0$ ($C_0 = C_1^{-1}$). Константа C_0 может определяться как C_2, C_3 (16) или C в зависимости от конкретного вида изотермы (12), значений q, p, r и $G_{0,2}$. В числителе функции заполнения (13) добавится член $C_0 k^{-1} (A-1)(1-\varphi)\varphi^{-2}$, а уравнение стационарного фронта запишется

$$z(\varphi) = \frac{D^* h}{vk(A-1)} \int \frac{C_0 \varphi^2 - k C_0 \varphi - k}{\varphi(1-\varphi)} d\varphi + \text{Const.} \quad (22)$$

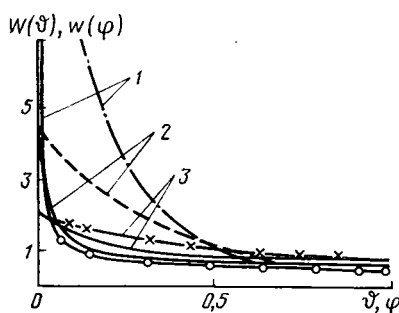


Рис. 1. Зависимость функций заполнения $W_2(\vartheta)$ и $W_2(\varphi)$ от концентрации в соответствующих фазах сорбционного фронта при $G_{0,2}=1$. Сплошные линии — $W_2(\varphi)$, прерывистые — $W_2(\vartheta)$.

1 — для прямоугольной изотермы; 2 — для ленгмюровской (12), $q=100$; 3 — для ленгмюровской при $q=10$.

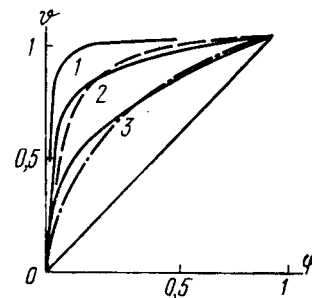
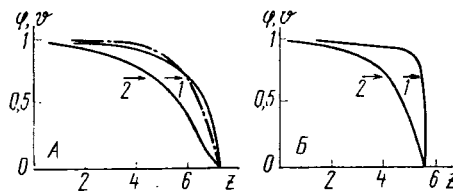


Рис. 2. Соотношения концентраций между фазами стационарного фронта при $G_2=\text{const}$ (прерывистые) и $G_2=G_{0,2}W_2(\varphi)$ (сплошные) для изотермы ленгмюровского типа (12), $q=100$.

1 — изотерма; 2 — $G_{0,2}=5$;

3 — $G_{0,2}=1$.

Рис. 3. Профили стационарного фронта при нелинейном массообмене для ленгмюровской изотермы при $q=100$.
 1 — $z(\vartheta)$ — колоночная кривая (пунктир при $G_{0,2}=\text{const}$); 2 — $z(\varphi)$ — выходная кривая;
 А — $G_{0,2}=1$; Б — $G_{0,2}=5$.



После интегрирования получим

$$z(\varphi) = \frac{D^* h}{\nu k (A - 1)} [(kC_0 + k - C_0) \ln(1 - \varphi) - k \ln \varphi - C_0 \varphi] + \text{Const.} \quad (23)$$

При действии изотерм средней выпуклости и малой степени асимметрии (обычные ленгмюровские) значения C_0 и C_1 близкие, k — велико ($\rightarrow \infty$) и тогда уравнение (23) переходит в более простое (19). Имея соотношения (13) и (5), можно получить выражение для функции заполнения $w_2(\vartheta)$ и найти нелинейный кинетический параметр $\beta_2(\vartheta)$ в уравнении кинетики (2). Однако вследствие большой громоздкости это малоудобно для дальнейших операций, так что при необходимости проще представить $w_2(\vartheta)$ графически или, используя краевые значения, аппроксимировать более подходящей функцией. На рис. 1—3 графически представлены некоторые из полученных выше результатов, которые позволяют сделать вывод о том, что коэффициент внутридиффузационного массообмена β_2 зависит от концентрации сорбируемого вещества и, следовательно, вдоль профиля фронта от $\vartheta=1$ до $\vartheta=0$ (или от $\varphi=1$ до $\varphi=0$) значение фактора относительной конкуренции за лимитирующую стадию между внутридиффузационным массообменом и эффектом продольного квазидиффузационного массопереноса ($G_2 = D^* \beta_{0,2} w_2(\vartheta) h \nu^{-2}$) все время изменяется (рис. 1). Это приводит к соответствующей деформации межфазного соотношения концентраций (рис. 2) и влияет на форму выходной и колоночной кривых (рис. 3). Пренебрегать этим явлением, т. е. считать $\beta_2(\vartheta)=\text{Const}$ можно лишь при грубом оценочном приближении или при действии слабовыпуклых (близких к линейным — $df/d\varphi \approx 1$) изотерм, когда погрешность, возникающая за счет такого допущения, будет соизмерима с ошибками эксперимента.

Полученные решения — точное для прямоугольной изотермы и приближенное аппроксимирующее для выпуклых изотерм с произвольной степенью крутизны ($df/d\varphi|_{\varphi=0} = q > 1$) — проявляют одинаковые тенденции, состоящие в уменьшении коэффициента $\beta_2(\vartheta)$ при увеличении концентрации ϑ , что феноменологически соответствует уменьшению движущей силы диффузии в материале сорбента по мере уменьшения количества активных мест, т. е. заполнения или отработки сорбента. Указанные эффекты нагляднее проявляются при высоком сродстве данного вещества к сорбенту или обменнику (выпуклая изотерма) и достигают максимума при необратимой сорбции (прямоугольная изотерма).

ЛИТЕРАТУРА

- Каменев А. С. Решение задачи неравновесной динамики сорбции с учетом продольных эффектов при помощи аппроксимирующих функций. Сообщ. III — Журн. физ. химии, 1982, № 11, с. 2879—2880.
- Рачинский В. В. Введение в общую теорию динамики сорбции и хроматографии. М.: Наука, 1964.
- Сенявин М. М. Ионный обмен. М.: Химия, 1980.
- Сенявин М. М., Рубинштейн Р. Н., Веницианов Е. В. и др. Основы расчета и оптимизации ионообменных процессов. М.: Наука, 1972.
- Цабек Л. К. Динамика сорбции в пористых средах для внутридиффузационной кинетики. — Журн. физ. химии, 1974, № 8, с. 2057—2059.

Статья поступила 11 апреля 1984 г.

SUMMARY

The analytical solution of dynamic sorption equation by the non-linear gel-kinetics is obtained in view of axial diffusion for Langmuir-isotherms and square-isothermes.